



Fagleg kontakt under eksamen:

John Tyssedal tlf.: 93534/93520

EKSAMEN I FAG 75565 TIDSREKKER OG FILTERTEORI
Onsdag 4. desember 1996
Tid: 0900-1400

Hjelphemiddel: Statistiske tabeller og formler, matematiske formelsamlingar,
godkjent lommekalkulator.

Legg og merke til formlane på side 5 og 6.

I heile oppgåvesettet skal vi gå ut frå at $\{a_t\}$ er ei følgje av uavhengige $N(0, \sigma_a^2)$ variable.

Oppgåve 1.

a) Kva vil det sei at ein stokastisk tidsrekkjeprosess $\{Z_t\}$ er svakt stasjonær?

Forklar (utan bevis) korleis Yule-Walker likningane kan brukast til å finne den partielle autokorrelasjonsfunksjonen, $\{\phi_{kk}\}$, til ein svakt stasjonær tidsrekkjeprosess.

b) Finn autokorrelasjonsfunksjonen til tidsrekkjeprosessen

$$Z_t = a_t - \theta_4 a_{t-4}$$

Vis at for denne prosessen er $\phi_{11} = \phi_{22} = \phi_{33} = 0$ og $\phi_{44} = \frac{-\theta_4}{1 + \theta_4^2}$.

Oppgåve 2.

a) La $\{X_t\}$ vere ein svakt stasjonær tidsrekkjeprosess som er brukt som inngangssignal til eit filter. Finn transferfunksjonen til filteret definert ved :

$$Y_t = X_t - \theta_4 X_{t-4}$$

Kva eigenskapar har filteret (skisser)? Du kan gå ut frå at θ_4 er positiv.
La ein svakt stasjonær tidsrekkjeprosess vere definert ved

$$(1 - \phi_1 B) Z_t = (1 - \theta_4 B^4) a_t$$

Finn og skisser (røff skisse) spektraltettleiken til $\{Z_t\}$ når ϕ_1 og θ_4 begge er positive.

b) Vis at ψ -vektene i den uendelege MA representasjonen for $\{Z_t\}$ er gitt ved:

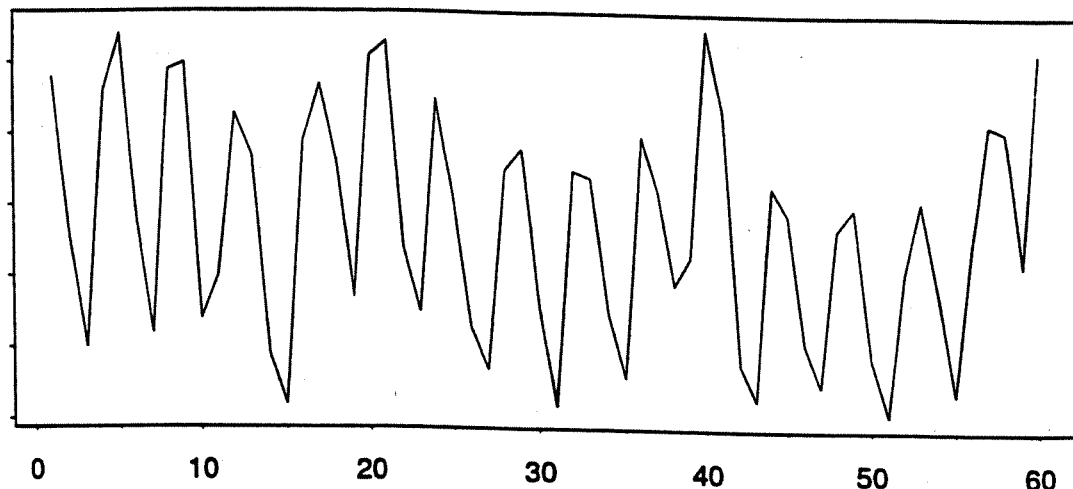
$$\psi_k = \begin{cases} \phi_1^k, & 0 \leq k \leq 3 \\ \phi_1^k - \theta_4 \phi_1^{k-4}, & k \geq 4 \end{cases}$$

c) Finn variansen til $\{Z_t\}$ og forklar kvifor $\rho_k \leq \phi_1^k$ dersom både ϕ_1 og θ_4 er positive.

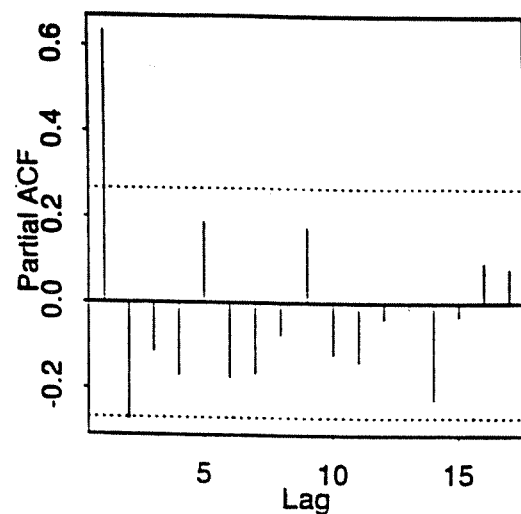
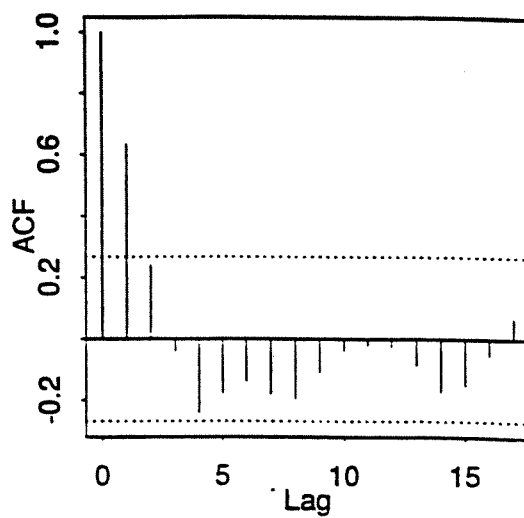
Oppgåve 3.

I denne oppgåva kan ein få bruk for resultat frå oppgåve 2.

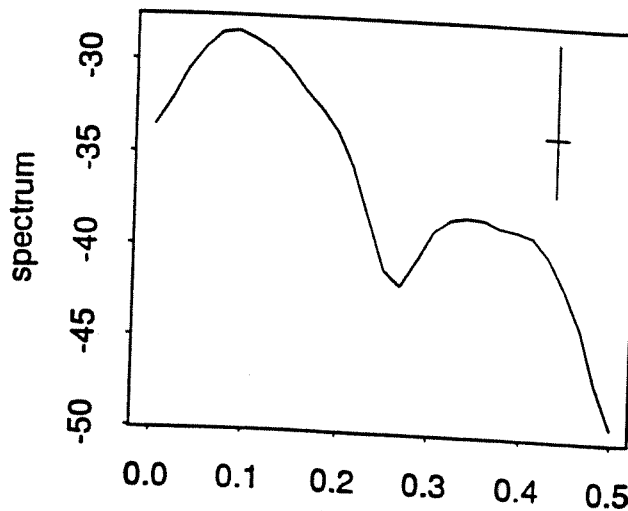
Nedanfor er det synt eit tidsrekkeplott av kvartalsvis gjennomsnittleg fosforinnhald, $\{X_t\}$, i ein innsjø over eit tidsrom på 15 år. Ein har som mål å lage ein påliteleg modell for korleis fosforinnhaldet i innsjøen varierer frå kvartal til kvartal.



a) Tidsrekka blei først sesongdifferensiert med periode 4. La den nye tidsrekkeprosessen vere $\{Z_t\}$. Plott av estimert autokorrelasjon og estimert partiell autokorrelasjon er synt nedanfor. Føreslå utifrå desse ein modell for $\{Z_t\}$.



Plott av estimert spektraltettleik for $\{Z_t\}$ er gitt nedanfor. Kva modell for $\{Z_t\}$ støttar denne opp om?



b) Dei to modellane nedanfor blei deretter freista tilpassa $\{Z_t\}$:

Modell 1:

$$(1 - \phi_1 B - \phi_2 B^2) Z_t = a_t$$

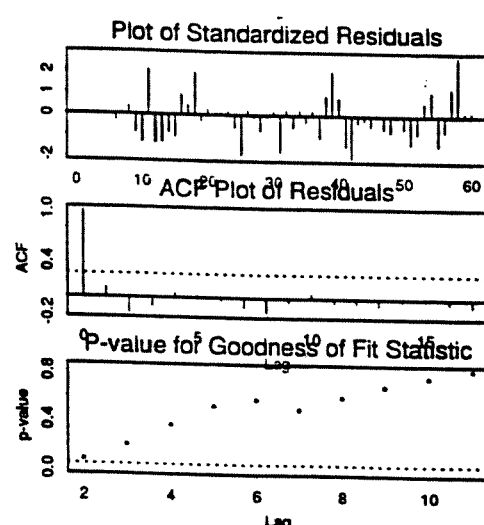
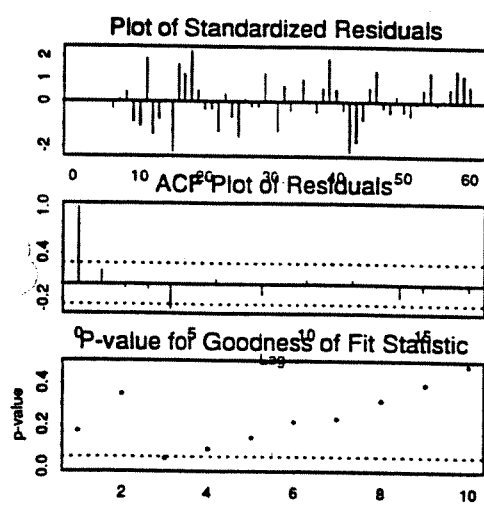
Modell 2:

$$(1 - \phi_1 B) Z_t = (1 - \theta_4 B^4) a_t$$

noko som gav følgjande resultat i verifiseringsfasen (utskrift frå S-PLUS).

Modell 1:

Modell 2:



Kommenter desse. Kven av desse to modellane vil du føreslå for $\{Z_t\}$?

c) For resten av denne oppgåva skal vi gå ut frå at modell 2 er den rette. Med denne modellen fekk vi følgjande estimat for parameterane i modellen: $\hat{\phi}_1=0.75$, $\hat{\theta}_4=0.85$, $\hat{\sigma}_a^2 = 0.0002$. Finn prognosene for fosforinnhaldet i innsjøen for neste kvartal, $\hat{X}_{60}(1)$ når dei 4 siste observasjonane og dei 4 siste residuala er som synt nedanfor for.

t	56	57	58	59	60
X_t	0.09	0.11	0.11	0.08	0.13
\hat{a}_t	-0.008	0.02	0.04	0.003	0.002

Det har vore vanleg å predikere fosforinnhaldet for eit kvartal med tilsvarende tal året før. Kva blir prognosene for neste kvartal med denne framgangsmåten? Samanlikn eit steigs prognosefeil varians med desse to måtane å lage prognosar på.

d) Vis at forma på prognosefunksjonen, $f(l)$, til $\{X_t\}$ er gitt ved:

$$f(l) = c_1 + c_2(-1)^l + c_3(i)^l + c_4(-i)^l + c_5(\phi_1)^l$$

og finn ut for kva l denne gjeld. Vis at $f(l+4) - f(l) \rightarrow 0$ når $l \rightarrow \infty$.

e) Ein måte å fjerne sesongmønster i ei tidsrekke på er å filtrere tidsrekka med eit glidande gjennomsnitt av talet på observasjonar i ein sesongperiode. La

$$Y_l = \frac{X_l + X_{l+1} + X_{l+2} + X_{l+3}}{4}$$

Finn grenseverdien for $E[Y_{n+l}|X_t, t \leq n]$ når $l \rightarrow \infty$. Korleis vil du tolke konstanten c_1 definert under punkt d?

FØLGJANDE FORMLAR KAN KOME TIL NYTTE.

Ved eksponentiell glatting er eitstegsprognosene, \hat{Z}_{t+1} , gitt ved:

$$\hat{Z}_{t+1} = \alpha Z_t + (1 - \alpha) \hat{Z}_t, \quad 0 \leq \alpha \leq 1$$

Informasjonsmatrisa \mathbf{H} er gitt ved:

$$H_{ij} = -E \left\{ \frac{\partial^2 \ln L(\beta)}{\partial \beta_i \partial \beta_j} \right\}$$

$$Var[\hat{\rho}_k] = \left[\frac{1 + 2 \sum_{j=1}^q \rho_j^2}{n} \right], \quad k > q$$

forutsatt at $\rho_k = 0$ for $k > q$, n er talet på observasjonar.

$$Var[\hat{\phi}_{kk}] = \frac{1}{n} \text{ for } k \text{ større enn orden til den autoregressive prosessen.}$$

Box-Pierce observatoren er basert på:

$$Q = n \sum_{k=1}^K \hat{\rho}_k^2$$

$$AIC = -2 \ln f(\hat{\Phi}, \hat{\Theta}, \hat{\sigma}_a^2) + 2M, M \text{ er talet på koeffisientar.}$$

Sum for ei endeleg geometrisk rekkeje: $\sum_{i=0}^{n-1} ak^i = \frac{a - ak^n}{1 - k}$

$$\sum_{i=0}^{T-1} e^{\pm 2\pi i \frac{k}{T}} = \begin{cases} T, & k = lT, \quad l = 0, \pm 1, \pm 2, \dots \\ 0 & \text{elles} \end{cases}$$

Dersom $\sum_{k=-\infty}^{\infty} |\gamma_k| < \infty$ er samanhengen mellom γ_k og $f(\omega)$ for svakt stasjonære prosesser gitt ved:

$$\gamma_k = \int_{-\pi}^{\pi} f(\omega) e^{i\omega k} d\omega$$

$$f(\omega) = \frac{1}{2\pi} \sum_{k=-\infty}^{\infty} \gamma_k e^{-i\omega k} \quad |\omega| \leq \pi$$

For eit lineært filter der samanhengen mellom utsignal $\{y_t\}$ og innsignal $\{x_t\}$ er gitt ved:

$$y_t = \sum_{k=-\infty}^{\infty} \alpha_k x_{t-k}$$

er frekvensresponsfunksjonen (transferfunksjonen) gitt ved:

$$\alpha(e^{-i\omega}) = \sum_{k=-\infty}^{\infty} \alpha_k e^{-i\omega k}$$

og impulsresponsfunksjonen ved:

$$\alpha_k = \frac{1}{2\pi} \int_{-\pi}^{\pi} \alpha(e^{-i\omega}) e^{i\omega k} d\omega$$

Krysskovariansfunksjonen: $\gamma_{xy}(k) = \int_{-\pi}^{\pi} f_{xy}(\omega) e^{i\omega k} d\omega$

Krysspekeret: $f_{xy}(\omega) = \frac{1}{2\pi} \sum_{k=-\infty}^{\infty} \gamma_{xy}(k) e^{-i\omega k} \quad |\omega| \leq \pi$

Oppgave 1

a) $E[Z_t] = k$ uavh. av t

$$\text{Cov}[Z_{t_1}, Z_{t_2}] = \sigma(t_2 - t_1)$$

Yule-Walker

$$\vartheta_k - \phi_1 \vartheta_{k-1} - \dots - \phi_p \vartheta_{k-p} = 0, \quad k \geq 1$$

$$\Rightarrow \begin{bmatrix} 1 & s_1 & s_2 & \dots & s_{p-1} \\ s_1 & 1 & s_1 & \dots & s_{p-1} \\ s_2 & s_1 & 1 & \dots & s_{p-2} \\ \vdots & \vdots & \vdots & \ddots & \vdots \\ s_{p-1} & s_{p-2} & s_{p-3} & \dots & 1 \end{bmatrix} \begin{bmatrix} \phi_1 \\ \phi_2 \\ \phi_3 \\ \vdots \\ \phi_p \end{bmatrix} = \begin{bmatrix} s_1 \\ s_2 \\ s_3 \\ \vdots \\ s_p \end{bmatrix}$$

b.a. $\phi_{11} = s_1$ $\begin{bmatrix} 1 & s_1 \\ s_1 & 1 \end{bmatrix} \begin{bmatrix} \alpha_1 \\ \phi_{22} \end{bmatrix} = \begin{bmatrix} s_1 \\ s_2 \end{bmatrix}$ giur ϕ_{22}

$$\begin{bmatrix} 1 & s_1 & s_2 \\ s_1 & 1 & s_1 \\ s_2 & s_1 & 1 \end{bmatrix} \begin{bmatrix} \alpha_1 \\ \alpha_2 \\ \phi_{33} \end{bmatrix} = \begin{bmatrix} s_1 \\ s_2 \\ s_3 \end{bmatrix} \quad \text{giur } \phi_{33} \text{ o.s.b.}$$

4) $E[Z_t] = 0$

$$E[Z_t Z_{t+k}] = E[(a_t - \theta_4 a_{t-4})(a_{t+k} - \theta_4 a_{t+k-4})] = \begin{cases} \bar{\alpha}^2(1 + \theta_4^2), & k=0 \\ -\theta_4 \bar{\alpha}^2, & |k|=4 \\ 0 & \text{else} \end{cases}$$

$$\Rightarrow s_k = \begin{cases} 1, & k=0 \\ -\frac{\theta_4}{1+\theta_4^2}, & |k|=4 \\ 0 & \text{else.} \end{cases}$$

$$\phi_{11} = s_1 = 0 \quad \begin{bmatrix} 1 & 0 \\ 0 & 1 \end{bmatrix} \begin{bmatrix} \alpha_1 \\ \phi_{22} \end{bmatrix} = \begin{bmatrix} 0 \\ 0 \end{bmatrix} \Rightarrow \phi_{22} = 0$$

$$\begin{bmatrix} 1 & 0 & 0 \\ 0 & 1 & 0 \\ 0 & 0 & 1 \end{bmatrix} \begin{bmatrix} \alpha_1 \\ \alpha_2 \\ \phi_{33} \end{bmatrix} = \begin{bmatrix} 0 \\ 0 \\ 0 \end{bmatrix} \Rightarrow \phi_{33} = 0$$

$$\begin{bmatrix} 1 & 0 & 0 & 0 \\ 0 & 1 & 0 & 0 \\ 0 & 0 & 1 & 0 \\ 0 & 0 & 0 & 1 \end{bmatrix} \begin{bmatrix} \alpha_1 \\ \alpha_2 \\ \alpha_3 \\ \phi_{44} \end{bmatrix} = \begin{bmatrix} 0 \\ 0 \\ 0 \\ -\frac{\theta_4}{1+\theta_4^2} \end{bmatrix} \Rightarrow \phi_{44} = -\frac{\theta_4}{1+\theta_4^2}$$

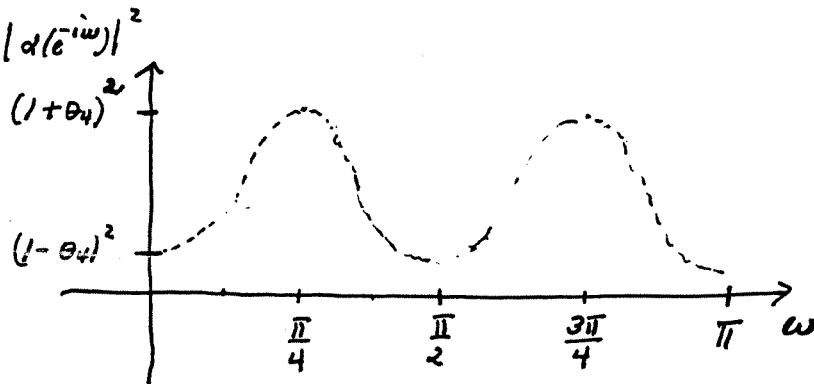
a)

$$\alpha(e^{-i\omega}) = 1 - \theta_4 e^{-i4\omega}$$

$$|\alpha(e^{-i\omega})|^2 = (1 - \theta_4 e^{-i4\omega})(1 - \theta_4 e^{i4\omega})$$

$$= 1 + \theta_4^2 - \theta_4(e^{i4\omega} + e^{-i4\omega}) = 1 + \theta_4^2 - 2\theta_4 \cos 4\omega$$

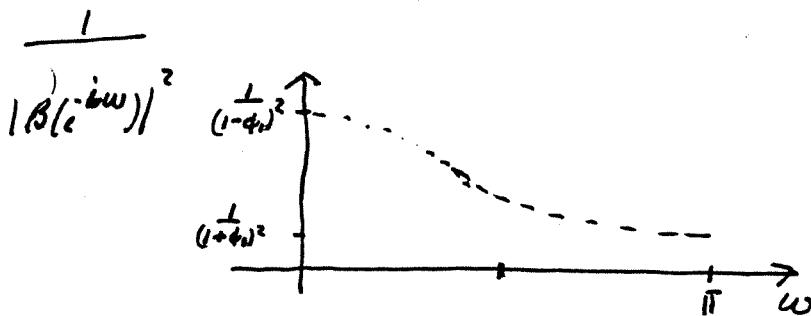
ω	0	$\frac{\pi}{8}$	$\frac{\pi}{4}$	$\frac{3\pi}{8}$	$\frac{\pi}{2}$	$\frac{5\pi}{8}$	$\frac{3\pi}{4}$	$\frac{7\pi}{8}$	π
$ \alpha(e^{-i\omega}) ^2$	$(1-\theta_4)^2$	$1+\theta_4^2$	$(1+\theta_4)^2$	$1+\theta_4^2$	$(1-\theta_4)^2$	$1+\theta_4^2$	$(1+\theta_4)^2$	$1+\theta_4^2$	$(1-\theta_4)^2$



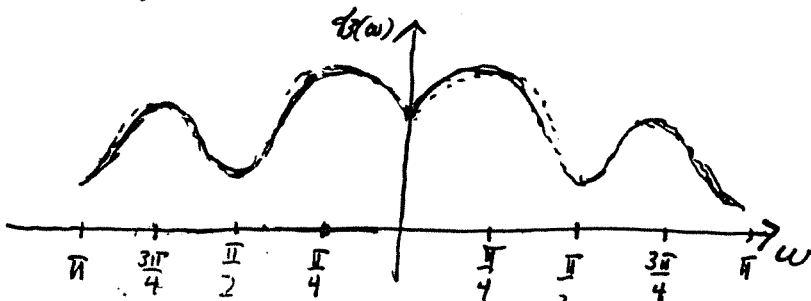
b)

$$\beta(e^{-i\omega}) = 1 - \phi_1 e^{-i\omega} \Rightarrow |\beta(e^{-i\omega})|^2 = 1 + \phi_1^2 - 2\phi_1 \cos \omega$$

$$\text{og } g_3(\omega) = \frac{|\alpha(e^{-i\omega})|^2}{|\beta(e^{-i\omega})|^2} \cdot g_2(\omega) = \frac{1 + \theta_4^2 - 2\theta_4 \cos 4\omega}{1 + \phi_1^2 - 2\phi_1 \cos \omega} \cdot \frac{\frac{5a^2}{2\pi}}{1 + \phi_1^2}, \text{ udss}$$



Vi forventar å få to stoppar i spekteret til $g_3(\omega)$. Den sistne stoppen vil vere dempet i forhold til den første. Graden av dämping er bestemt av ϕ_1 .



$$\text{Eit stegs prognosefeil med FRIHA modellen} = \hat{\sigma}_a^2$$

$$\hat{\sigma}_a^2 = 0,0002.$$

Med den andre metoden har vi

$$x_{61} = x_{57} + z_{61} \Rightarrow \text{Eit stegs prognosefeil varians}$$

$$\text{er } \text{Var}[z_6], \quad \hat{\sigma}_0 = \frac{\hat{\sigma}_a^2(1 + 0.85^2 - 1.7 \cdot 0.75^4)}{1 - 0.75^2} = 0.0002 \cdot 0.71 = 0.00054$$

$$\Rightarrow \frac{\hat{\sigma}_0}{\hat{\sigma}_a^2} = 0.71$$

$$d) \quad x_{-1}^4 = 0 \Rightarrow \begin{cases} x_1 = 1 \\ x_2 = -1 \\ x_3 = i \\ x_4 = -i \end{cases}$$

$$x - \varphi_1 = 0 \Rightarrow x = \varphi_1$$

$$\Rightarrow f(\ell) = c_1 + c_2(-1)^\ell + c_3(i)^\ell + c_4(-i)^\ell + c_5 \varphi_1^\ell$$

$$\text{for } \ell = q+1-p-d = 4+1-1-4 = 0$$

$$\begin{aligned} f(\ell+4) - f(\ell) &= c_1 + c_2(-1)^\ell (-1)^4 + c_3(i)^\ell (i)^4 + c_4(-i)^\ell (-i)^4 + c_5 \varphi_1^\ell \varphi_1^{4+4} \\ &\quad - c_1 - c_2(-1)^\ell - c_3(i)^\ell - c_4(-i)^\ell - c_5 \varphi_1^\ell \\ &= c_5 \varphi_1^\ell (\varphi_1^{4+4}) \rightarrow 0 \quad \text{med } \ell \rightarrow \infty. \end{aligned}$$

$$\begin{aligned} e) \quad E[Y_{m+\ell} | X_t, t \leq m] &= \frac{1}{4} \left\{ f(\ell) + f(\ell+1) + f(\ell+2) + f(\ell+3) \right\} \\ &= \frac{1}{4} \left\{ 4c_1 + c_2(-1)^\ell + (-1)^\ell (-1) + (-1)^\ell (-1)^2 + (-1)^\ell (-1)^3 \right. \\ &\quad + c_3(i)^\ell + (i)^\ell \cdot i + (i)^\ell (-1) + (i)^\ell (-i) \Big) \\ &\quad + c_4((-i)^\ell + (-i)^\ell (-i) + (-i)^\ell (-1) + (-i)^\ell (i)) \Big) \\ &\quad + c_5 (\varphi_1^\ell + \varphi_1^{\ell+1} + \varphi_1^{\ell+2} + \varphi_1^{\ell+3}) \Big\} \\ &= c_1 + \frac{c_5}{4} \varphi_1^\ell (1 + \varphi_1 + \varphi_1^2 + \varphi_1^3) \rightarrow c_1 \quad \text{med } \ell \rightarrow \infty \end{aligned}$$

$\Rightarrow c_1$ er forventa gjennomsnittlig årsområde av forfar (på slutten av tidsperioden)

b)

$$z_t = (1 - \phi_1 B)^{-1} (a_t - \theta_4 a_{t-4})$$

$$= \sum_{k=0}^{\infty} \phi_1^k a_{t-k} - \theta_4 \sum_{s=0}^{\infty} \phi_1^s a_{t-4-s} = \sum_{k=0}^{\infty} \phi_1^k a_{t-k} - \theta_4 \sum_{k=4}^{\infty} \phi_1^{k-4} a_{t-k}$$

$$\Rightarrow \gamma_k = \begin{cases} \phi_1^k, & 0 \leq k \leq 3 \\ \phi_1^k - \theta_4 \phi_1^{k-4}, & k \geq 4 \end{cases}$$

c)

$$(1) \bar{x}_0 - \phi_1 \bar{x}_1 = E[(a_t - \theta_4 a_{t-4})(z_t)] = \bar{\sigma}_a^2 (1 - \theta_4 \gamma_4)$$

$$(2) \bar{x}_1 - \phi_1 \bar{x}_0 = E[(a_t - \theta_4 a_{t-4})(z_{t-1})] = -\theta_4 \gamma_3 \bar{\sigma}_a^2$$

$$(3) \bar{x}_2 - \phi_1 \bar{x}_1 = -\theta_4 \gamma_2 \bar{\sigma}_a^2$$

$$(4) \bar{x}_3 - \phi_1 \bar{x}_2 = -\theta_4 \gamma_1 \bar{\sigma}_a^2$$

$$(5) \bar{x}_4 - \phi_1 \bar{x}_3 = -\theta_4 \bar{\sigma}_a^2.$$

$$(6) \bar{x}_k - \phi_1 \bar{x}_{k-1} = 0, \quad k \geq 5$$

$$(1) \text{ og } (2) \Rightarrow \bar{x}_0 - \phi_1 (\phi_1 \bar{x}_0 - \theta_4 \gamma_3 \bar{\sigma}_a^2) = \bar{\sigma}_a^2 (1 - \theta_4 \gamma_4)$$

$$\Rightarrow \bar{x}_0 (1 - \phi_1^2) = \bar{\sigma}_a^2 (1 - \theta_4 \gamma_4 - \theta_4 \phi_1 \gamma_3) = \bar{\sigma}_a^2 (1 - \theta_4 \phi_1^4 + \theta_4 - \theta_4 \phi_1^2)$$

$$\Rightarrow \bar{x}_0 = \frac{\bar{\sigma}_a^2 (1 + \theta_4^2 - 2\theta_4 \phi_1^2)}{1 - \phi_1^2}$$

 ϕ_1 , θ_4 positive given:

$$(2), (3), (4) \text{ og } (5) \Rightarrow s_k < \phi_1 s_{k-1}, \quad k \leq 4$$

$$(2) \Rightarrow s_1 < \phi_1 \Rightarrow s_k < \phi_1^k \quad k \leq 4$$

$$(6) \Rightarrow s_k = \phi_1^{k-4} s_4, \quad k \geq 4, \quad s_4 < \phi_1^4 \Rightarrow s_k < \phi_1^k, \quad \forall k.$$

3 a) ϕ_{11} og ϕ_{12} ser ut til å være signifikante, indikerer AR(2). Estimert autokorrelasjonsfunksjon motstrider ikke dette.

Spesifisert har toppen ved $\phi \approx \frac{1}{8}$ og $\phi \approx \frac{3}{8}$, dvs riske dempa. Dette indikerer at $(1 - \phi_1 B)^2 = (1 - \theta_4 B^4) q_t$ er en mulig modell for visse valg av ϕ_1 og θ_4 .

b). For modell 1 indikerer estimert autokorrelasjon for residuala signifikant korrelasjon ved lag 4, medan det er uigens grunn til å anta korrelasjon i residuala for modell 2.

P verdien for GOF testen for modell 2 ligg joamt over den for modell 1 og er dessutan større enn 0.05 ved alle lag. Dette tyder på at modell 2 er den beste.

$$(1 - \phi_1 B)(1 - B^4) X_6 = (1 - \theta_4 B^4) q_6$$

$$\Rightarrow X_6 - \phi_1 X_{t-1} - X_{t-4} + \phi_1 X_{t-5} = q_6 - \theta_4 q_{t-4}$$

$$\text{b.a } X_{t+1} = \phi_1 X_t + X_{t-3} - \phi_1 X_{t-4} + q_{t+1} - \theta_4 q_{t-3}$$

$$\begin{aligned} \therefore \hat{X}_{60(1)} &= \phi_1 X_{60} + X_{57} - \phi_1 X_{56} - \theta_4 q_{57} \\ &= 0.75(X_{60} - X_{56}) + X_{57} - 0.85 \cdot q_{57} \\ &= 0.75 \cdot 0.04 + 0.11 - 0.85 \cdot 0.02 = \underline{\underline{0.123}} \end{aligned}$$

$$\tilde{X}_{60(1)} = X_{57} = 0.11$$

